

DOI: 10.3872/j.issn.1007-385x.2019.12.006

· 基础研究 ·

## lncRNA SBF2-AS1 通过调控 miR-140-5p/VEGFA 分子轴促进宫颈癌 HeLa 细胞上皮间质转化

方淑芬<sup>a</sup>, 熊树华<sup>b</sup>, 黄欧平<sup>a</sup>, 万玉珍<sup>a</sup> (江西省妇幼保健院 a. 妇科; b. 肿瘤科, 江西 南昌 330006)

**[摘要]** **目的:** 探讨 lncRNA SBF2-AS1 通过调控 miR-140-5p/血管内皮生长因子 A (VEGFA) 分子轴对宫颈癌 HeLa 细胞上皮间质转化 (EMT) 的影响。**方法:** 细胞培养和转染后分为 NC、miR-140-5p mimic、miR-140-5p mimic+pcDNA-VEGFA、si-lncRNA SBF2-AS1+pcDNA-VEGFA 及 si-lncRNA SBF2-AS1+miR-140-5p mimic 组 5 组。采用 qPCR 检测 lncRNA SBF2-AS1 在宫颈癌组织及细胞系中的表达水平, 双荧光素酶报告基因验证 lncRNA SBF2-AS1、miR-140-5p 与 VEGFA 的靶向关系, WB 检测 HeLa 细胞中 VEGFA 及 EMT 标志物 N-cadherin、Vimentin 和 E-cadherin 的表达水平, Transwell 实验检测 HeLa 细胞侵袭和迁移能力。**结果:** lncRNA SBF2-AS1 在宫颈癌组织及细胞系中高表达 ( $P < 0.05$  或  $P < 0.01$ ), lncRNA SBF2-AS1 靶向结合 miR-140-5p, 且 VEGFA 是 miR-140-5p 的靶基因 ( $P < 0.05$ )。敲降 lncRNA SBF2-AS1 抑制 HeLa 细胞侵袭、迁移及 EMT。进一步实验证实, lncRNA SBF2-AS1 通过 miR-140-5p 上调 VEGFA 的表达水平, 从而促进 HeLa 细胞侵袭、迁移及 EMT ( $P < 0.05$  或  $P < 0.01$ )。**结论:** lncRNA SBF2-AS1 通过 miR-140-5p/VEGFA 分子轴促进 HeLa 细胞 EMT。

**[关键词]** lncRNA SBF2-AS1; miR-140-5p; 血管内皮生长因子 A; 宫颈癌; HeLa 细胞; 上皮间质转化

**[中图分类号]** R392.12; R737.33 **[文献标识码]** A **[文章编号]** 1007-385X(2019)12-1331-06

## lncRNA SBF2-AS1 promotes epithelial-mesenchymal transition of cervical cancer cells via regulating miR-140-5p/VEGFA axis

FANG Shufen<sup>a</sup>, XIONG Shuhua<sup>b</sup>, HUANG Ouping<sup>c</sup>, WAN Yuzhen<sup>a</sup> (a. Department of Gynaecology; b. Department of Oncology, Maternal and Child Health Center of Jiangxi Province, Nanchang 330006, Jiangxi, China)

**[Abstract]** **Objective:** To investigate the effect of lncRNA SBF2-AS1 on epithelial-mesenchymal transition (EMT) of cervical cancer HeLa cell via regulating miR-140-5p/VEGFA (vascular endothelial growth factor A) axis. **Methods:** After cell culture and transfection, the cells were divided into 5 groups: NC group, miR-140-5p mimic group, miR-140-5p mimic+pcDNA-VEGFA group, si-lncRNA SBF2-AS1+pcDNA-VEGFA group and si-lncRNA SBF2-AS1+miR-140-5p mimic group. The expression level of lncRNA SBF2-AS1 in cervical cancer tissues and cell lines was detected by qPCR. The targeted relationship between lncRNA SBF2-AS1, miR-140-5p and VEGFA was confirmed by Dual luciferase reporter gene assay. The expression levels of VEGFA and EMT-related proteins N-cadherin, Vimentin and E-cadherin in HeLa cells were detected by WB. The invasion and migration of HeLa cells were detected by Transwell. **Results:** lncRNA SBF2-AS1 was highly expressed in cervical cancer tissues and cell lines ( $P < 0.05$  or  $P < 0.01$ ). Dual luciferase reporter gene assay confirmed that lncRNA SBF2-AS1 targetedly combined with miR-140-5p and VEGFA was a target gene of miR-140-5p ( $P < 0.05$ ). Knockdown of lncRNA SBF2-AS1 inhibited invasion and migration as well as EMT of HeLa cells. Further experiment confirmed that lncRNA SBF2-AS1 up-regulated the expression level of VEGFA via miR-140-5p, thereby promoting invasion, migration and EMT of HeLa cells. **Conclusion:** lncRNA SBF2-AS1 promotes EMT of HeLa cells via miR-140-5p/VEGFA axis.

**[Key words]** lncRNA SBF2-AS1; miR-140-5p; vascular endothelial growth factor A (VEGFA); cervical cancer; HeLa cell; epithelial-mesenchymal transition (EMT)

[Chin J Cancer Biother, 2019, 26(12): 1331-1336. DOI: 10.3872/j.issn.1007-385X.2019.12.006]

宫颈癌具有高发病率及高病死率等特点<sup>[1]</sup>, 上皮间质转化 (epithelial-mesenchymal transition, EMT) 在宫颈癌发展中起到重要的作用, 是宫颈癌患者预后较差的主要因素之一<sup>[2]</sup>。近期研究<sup>[3-4]</sup>发现, 长链非编码 RNA (long non-coding RNA, lncRNA) 参与调控宫颈癌 EMT 进程。同时, 研究<sup>[5]</sup>发现, lncRNA SBF2-

AS1 促进肝癌细胞的 EMT 进程。lncRNA 可以通过海绵吸附 miRNAs 从而影响肿瘤细胞恶性生物学行

**[作者简介]** 方淑芬 (1978-), 女, 硕士, 副主任医师, 主要从事妇科肿瘤诊治的研究

**[通信作者]** 方淑芬 (FANG Shufen, corresponding author), E-mail: fangsf6n@163.com

为,如 lncRNA NORAD 通过竞争性作用于 hsa-miR-125a-3p,上调 RhoA 的表达水平,从而促进胰腺癌细胞 EMT<sup>[6]</sup>;lncRNA Unigene56159 通过海绵吸附作用抑制 miR-140-5p 的表达水平,从而促进肝癌细胞 EMT<sup>[7]</sup>。此外,有文献<sup>[8-10]</sup>报道,血管内皮生长因子 A (vascular endothelial growth factor A, VEGFA) 在多种肿瘤中充当促癌因子,促进癌症细胞的 EMT 进程。但尚无文献报道 lncRNA SBF2-AS1/miR-140-5p/VEGFA 分子轴调控宫颈癌细胞 EMT 机制的研究。为此,本研究探讨 lncRNA SBF2-AS1 通过调控 miR-140-5p/VEGFA 分子轴,从而影响宫颈癌细胞 EMT 的机制,为宫颈癌的诊断和治疗提供新的靶标。

## 1 材料与方法

### 1.1 临床样本、细胞株和主要试剂

收集 2015 年 1 月至 2018 年 6 月江西省妇幼保健院经术后病理确诊为宫颈癌患者的癌组织和癌旁组织 33 例,患者术前均未接受放疗和化疗。33 例患者中位年龄为 50.1 岁。临床分级: I 级 2 例, II 级 11 例, III 级 17 例, IV 级 3 例。TNM 分期: I 期 2 例, II 期 12 例, III 期 15 例, IV 期 4 例。组织标本取材清洗后立即液氮冷冻, -80 °C 保存。所有研究对象均签署知情同意书,本研究实施方案经医院伦理委员会批准。

人正常宫颈上皮细胞 HUCEC (货号: YS452C) 购自上海雅吉生物科技有限公司, 宫颈癌细胞 HeLa (货号: CBP600232)、C-33A (货号: CBP60707)、ME180 (货号: CBP60645) 购自 Cobioer 公司。

si-lncRNA SBF2-AS1/pcDNA-lncRNA SBF2-AS1、miR-140-5p mimic、pcDNA-VEGFA 由上海北诺生物科技有限公司代为合成或构建, DMEM 和胎牛血清购自美国 Biological Industries 公司, 青霉素和链霉素均购自厦门惠嘉生物科技有限公司, 引物序列购自擎科生物科技有限公司, Lipofectamine 2000 和逆转录试剂盒均购自日本 TaKaRa 公司, 高纯总 RNA 快速提取试剂盒购自北京康朗生物科技有限公司, SDS-PAGE 凝胶快速制备试剂盒均购自美国 Bio-Rad 公司, 免疫印迹一抗和二抗均购于购自美国 CST 公司, Transwell 小室购自美国 Corning 公司, 双荧光素酶报告基因试剂盒和报告基因载体均购自武汉金开瑞生物工程有限公司。

### 1.2 细胞培养

人正常宫颈上皮细胞 HUCEC 和宫颈癌细胞 HeLa、C-33A 和 ME180 均在常规条件下 (DMEM 培养液中胎牛血清浓度为 10%, 5% CO<sub>2</sub>, 37 °C) 过夜培养, 待细胞生长至对数生长期时备用。

### 1.3 细胞转染

HUCEC、HeLa、C-33A 和 ME180 细胞生长至对

数生长期后用胰酶消化、计数, 然后接种于 6 孔板, 培养 24 h 以备转染; 严格按照 Lipofectamine 2000 试剂盒说明书将 si-lncRNA SBF2-AS1/pcDNA-lncRNA SBF2-AS1、miR-140-5p mimic、pcDNA-VEGFA 转染至 HeLa 细胞, 转染 48 h 后在荧光显微镜下观察细胞的转染效果, 并分为 5 组: NC、miR-140-5p mimic、miR-140-5p mimic+pcDNA-VEGFA、si-lncRNA SBF2-AS1+pcDNA-VEGFA 及 si-lncRNA SBF2-AS1+miR-140-5p mimic 组。

### 1.4 qPCR 检测宫颈癌组织及细胞系中 lncRNA SBF2-AS1 和 miR-140-5p 的表达水平

采用 TRIzol 提取转染后各组宫颈癌组织及细胞系中的总 RNA, 琼脂糖凝胶电泳检测 RNA 的浓度和纯度。随后, 采用逆转录试剂盒合成 cDNA, 然后, 严格按照 SYBR GREEN 试剂盒说明对 lncRNA SBF2-AS1 和 miR-140-5p 的表达水平进行检测。反应体系 (20 μl) 为: 2 μl 逆转录产物、10 μl SYBR Green Mix、0.4 μl ROX Reference Dye、上下游引物 (10 μmol/L) 各 0.8 μl、6 μl dH<sub>2</sub>O。PCR 热循环参数为: 95 °C 5 min、94 °C 变性 30 s、60 °C 退火 30 s, 进行 45 个循环。以 U6 作为内参, lncRNA SBF2-AS1 引物序列 F: 5'-AGACCATGTGGACCTGTCCTG-3', R: 5'-GTTTGGAGTGGTAGAAATCTGTC-3'; miR-140-5p F: 5'-TGTGTC TCTCTCTGTGTCCTG-3', R: 5'-GGTATCCTGTCCGTGGTTCTA-3'; U6 F: 5'-CTCGCTTCGGCAGCA-3', R: 5'-AACGCTTCACGAATTTGCGT-3'。检测结果采用 2<sup>-ΔΔCt</sup> 法进行计算。

### 1.5 WB 实验检测转染后 HeLa 细胞中 VEGFA 及 EMT 标志物的表达水平

胰酶消化贴壁细胞, 离心 5 min, PBS 溶液洗涤, 弃上清, 重复 3 次。运用细胞蛋白提取试剂盒提取 HeLa 细胞总蛋白, 并进行 BCA 定量。分别取等量蛋白, 采用 10% SDS-PAGE 分离蛋白, 将分离的蛋白转移至聚偏二氟乙烯膜上, 5% 脱脂奶粉封闭 1 h。加入一抗 (1:1 000), 4 °C 孵育过夜。次日, 去除一抗, TBST 清洗 3 次; 加入稀释的二抗 (1:5 000), 室温孵育 1 h; 去除二抗, TBST 清洗 3 次; 加入 ECL 化学显色液置于凝胶系统中采集图像, Image J 对蛋白条带进行半定量分析。

### 1.6 双荧光素酶报告基因验证 lncRNA SBF2-AS1、miR-140-5p 和 VEGFA 的靶向关系

取对数生长期的转染后 HeLa 细胞接种于 24 孔细胞培养板, 孵育 24 h, 扩增 lncRNA SBF2-AS1、miR-140-5p 和 VEGFA 结合片段并导入到荧光素酶载体中构建野生型质粒。将结合片段部分核苷酸突变, 获得突变型质粒。根据 Lipofectamine 2000 说明书进行

转染,转染24 h后去除培养基,用PBS冲洗细胞2次,加入细胞裂解液,涡旋混匀10 min,12 000×g离心10 min,转移上清至新的EP管。参考双荧光素酶试剂盒说明书进行染色,以海肾荧光值作为内参,采用酶标仪检测萤火虫和海肾荧光值。

### 1.7 Transwell实验检测HeLa细胞侵袭和迁移能力

胰酶消化细胞并用无血清培养基重悬,在迁移实验中,上室加入200 μl细胞悬液,下室加入600 μl含有20%血清的培养基,在37℃,5% CO<sub>2</sub>的条件下孵育24 h,棉签去除上室的残余细胞,下室细胞用甲醛固定30 min后0.1%的结晶紫染色,PBS清洗3次,干燥后置于显微镜(×200)下观察计数并进行统计分析。侵袭实验需在Transwell上小室中预铺人工基质胶,其余操作同迁移实验。

### 1.8 统计学处理

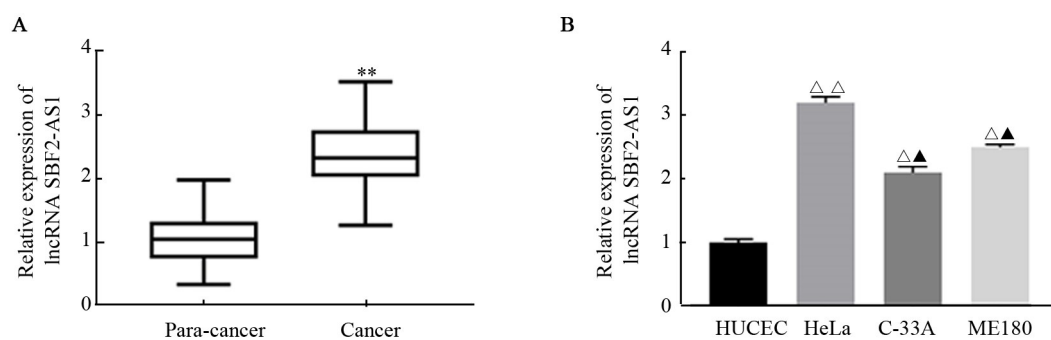
qPCR、WB、Transwell、双荧光素酶验证等实验均重

复3次。采用SPSS 20.0软件进行统计数据分折,用GraphPad Prism 7软件绘图。计量数据以 $\bar{x}\pm s$ 表示,两组间比较采用*t*检验,多组间比较采用单因素方差分析。以 $P<0.05$ 或 $P<0.01$ 表示差异有统计学意义。

## 2 结果

### 2.1 lncRNA SBF2-AS1在宫颈癌组织及细胞系中呈高表达

qPCR检测结果显示,lncRNA SBF2-AS1在宫颈癌组织中的表达水平高于配对的癌旁组织( $P<0.01$ ,图1A);相对于人正常宫颈上皮细胞HUCEC,lncRNA SBF2-AS1在宫颈癌细胞系中高表达( $P<0.05$ 或 $P<0.01$ ),且在HeLa细胞中表达水平最高(均 $P<0.05$ ,图1B),并选取HeLa细胞进行后续实验。上述结果表明,lncRNA SBF2-AS1的异常高表达可能与宫颈癌有密切的关系。



\*\* $P<0.01$  vs Para-cancer group;  $\triangle P<0.05$ ,  $\triangle\triangle P<0.01$  vs HUCEC group;  $\blacktriangle P<0.05$  vs HeLa group

A: The expression of lncRNA SBF2-AS1 in cervical cancer tissues and Para-cancer tissues detected by qPCR;

B: The expression of lncRNA SBF2-AS1 in cervical cancer cell lines measured by qPCR

图1 lncRNA SBF2-AS1在宫颈癌组织及细胞系中的表达水平

Fig.1 Expression level of lncRNA SBF2-AS1 in cervical cancer tissues and cell lines

### 2.2 敲降lncRNA SBF2-AS1抑制HeLa细胞EMT

qPCR检测结果显示,转染si-lncRNA SBF2-AS1后,lncRNA SBF2-AS1在HeLa细胞中表达水平显著低于对照组( $P<0.01$ ,图2A)。WB实验检测结果显示,转染si-lncRNA SBF2-AS1后,HeLa细胞中EMT标志蛋白N-cadherin及Vimentin表达水平显著下调( $P<0.05$ ,图2B、C),E-cadherin表达水平显著上调( $P<0.01$ ,图2B、C)。Transwell实验检测结果显示,转染si-lncRNA SBF2-AS1后,HeLa细胞的侵袭和迁移数目显著下调(均 $P<0.01$ ,图2D、E)。上述结果表明,敲降lncRNA SBF2-AS1能够显著抑制HeLa细胞侵袭、迁移及EMT、侵袭及迁移。

### 2.3 lncRNA SBF2-AS1和VEGFA竞争性吸附miR-140-5p

通过starBase数据库预测lncRNA SBF2-AS1、

miR-140-5p和VEGFA间的靶向关系,结果如图3A所示。双荧光素酶报告基因结果显示,过表达miR-140-5p能够显著抑制lncRNA SBF2-AS1及VEGFA野生型质粒的荧光强度( $P<0.05$ ,图3B、C),且对lncRNA SBF2-AS1及VEGFA突变型质粒荧光强度无显著抑制( $P>0.05$ )。qPCR检测结果显示,敲降lncRNA SBF2-AS1能显著上调miR-140-5p的表达水平( $P<0.01$ ,图3D);WB实验结果显示,过表达miR-140-5p能够显著抑制VEGFA的表达水平( $P<0.01$ ,图3E、F)。上述结果表明,lncRNA SBF2-AS1靶向负调控miR-140-5p且VEGFA是miR-140-5p的靶基因。

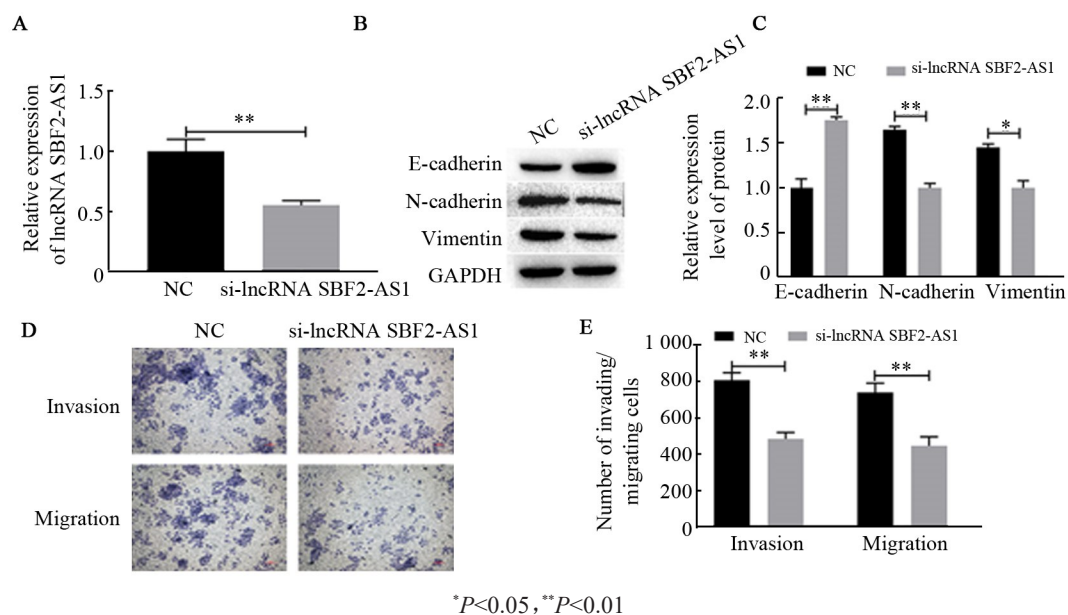
### 2.4 lncRNA SBF2-AS1通过miR-140-5p/VEGFA分子轴促进HeLa细胞EMT

qPCR检测结果显示,过表达miR-140-5p显著上调miR-140-5p的表达水平( $P<0.01$ ,图4A);WB检测



结果显示,过表达 miR-140-5p 显著下调 EMT 标志蛋白 N-cadherin 及 Vimentin 的表达水平,同时显著上调 E-cadherin 的表达水平 ( $P < 0.05$  或  $P < 0.01$ , 图 4B、C); Transwell 检测结果显示,过表达 miR-140-5p 显著抑制 HeLa 细胞的侵袭和迁移 ( $P < 0.01$ , 图 4D、E),而 miR-140-5p mimic+pcDNA-VEGFA、si-lncRNA SBF2-

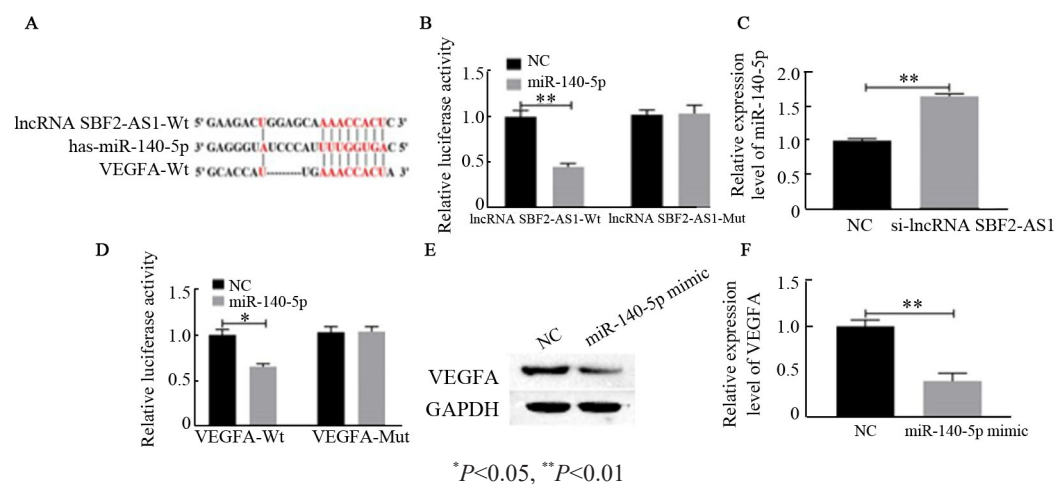
AS1+pcDNA-VEGFA 及 si-lncRNA SBF2-AS1+miR-140-5p mimic 组中 miR-140-5p、N-cadherin、Vimentin 及 E-cadherin 的表达水平和 HeLa 细胞的侵袭和迁移情况与 NC 组无显著性差异 (均  $P > 0.05$ )。由此可知, lncRNA SBF2-AS1 与 VEGFA 竞争性吸附 miR-140-5p,从而促进 HeLa 细胞 EMT、侵袭及迁移。



A: The expression of lncRNA SBF2-AS1 detected by qPCR; B and C: Expressions of EMT related proteins in HeLa cells measured by WB; D and E: The invasion and migration of HeLa cells detected by Transwell assay ( $\times 200$ )

图2 敲降 lncRNA SBF2-AS1 对 HeLa 细胞 EMT 的影响

Fig.2 Effect of lncRNA SBF2-AS1 knockdown on EMT of HeLa cells



A: The targeted bond site of lncRNA SBF2-AS, miR-140-5p and VEGFA verified by starBase database; B and D: The luciferase activity detected by dual luciferase reporter gene assay; C: The regulated relationship of lncRNA SBF2-AS1 and miR-140-5p measured by qPCR; E and F: The regulated relationship of miR-140-5p and VEGFA measured by WB

图3 lncRNA SBF2-AS1 和 VEGFA 竞争性吸附 miR-140-5p

Fig.3 miR-140-5p was competitively sponged by lncRNA SBF2-AS1 and VEGFA

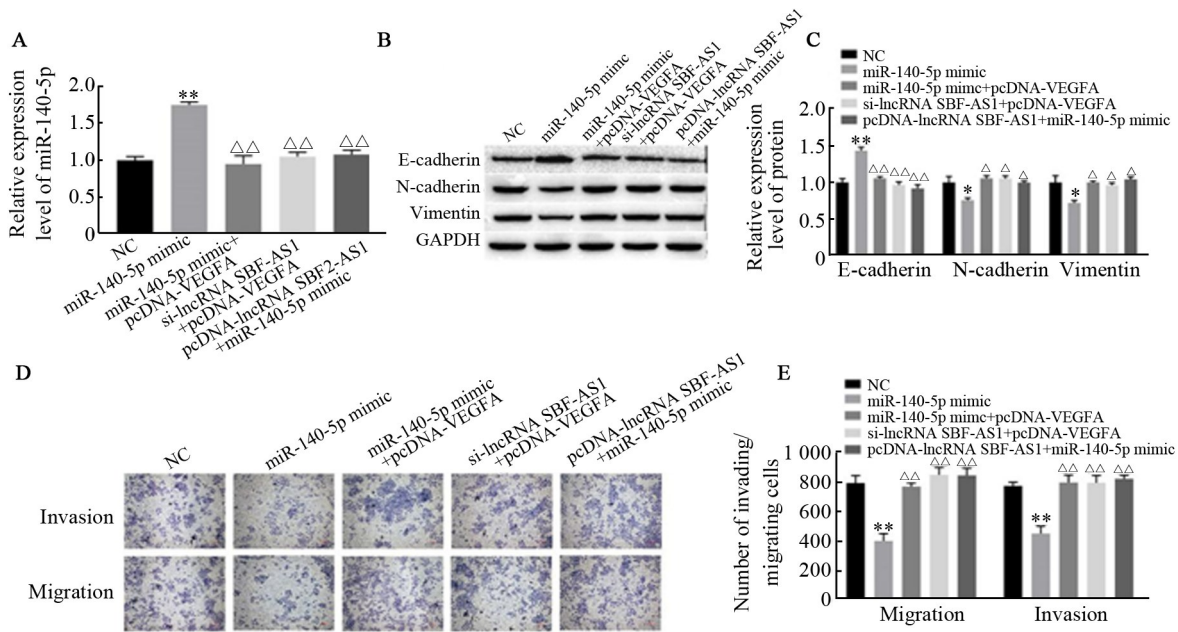
### 3 讨论

宫颈癌细胞发生 EMT 是其预后较差的主要原因

之一<sup>[11]</sup>。有文献<sup>[12]</sup>报道, lncRNA 参与调控肿瘤的 EMT 进程,如 lncRNA HOST2 通过激活 JAK2/STAT3 信号通路促进肝癌细胞的 EMT 进程及增殖、侵袭和

迁移; lncRNA SNHG7 通过 miR-34a 调控增殖、凋亡、细胞周期及 EMT 的相关蛋白 Notch1、BCL-2、CDK6 及 SMAD4, 从而促进骨肉瘤细胞的增殖、EMT 及抑制细胞凋亡<sup>[13]</sup>; lncRNA SBF2-AS1 通过海绵吸附 miR-140-5p 上调 TGFBR1 的表达水平, 从而抑制肝癌

细胞的侵袭、迁移及 EMT 进程<sup>[14]</sup>。本研究发现, lncRNA SBF2-AS1 在宫颈癌组织及细胞系中高表达, 且敲降 lncRNA SBF2-AS1 能够有效抑制 HeLa 细胞的 EMT 进程及侵袭和迁移。



\* $P < 0.05$ , \*\* $P < 0.01$  vs NC group;  $\Delta P < 0.05$ ,  $\Delta\Delta P < 0.01$  vs miR-140-5p mimic group

A: The expression of miR-140-5p in HeLa cells detected by qPCR; B and C: The EMT related proteins in HeLa cells measured by WB; D and E: The invasion and migration of HeLa cells detected by Transwell assay ( $\times 200$ )

图4 lncRNA SBF2-AS1 通过 miR-140-5p/VEGFA 分子轴促进 HeLa 细胞 EMT

Fig.4 lncRNA SBF2-AS1 promoted EMT of HeLa cells via miR-140-5p/VEGFA axis

lncRNA 通过海绵吸附作用抑制 miRNA 的表达水平, 从而影响癌细胞的恶性生物学行为, 如 lncRNA AK002107 通过海绵吸附 miR-140-5p 上调 TGFBR1 的表达水平, 从而促进肝癌细胞的 EMT 进程<sup>[15]</sup>; lncRNA SNHG16 通过竞争性吸附 miR-140-5p 上调 ZEB1 的表达水平促进食管癌细胞的增殖、迁移及 EMT 进程<sup>[16]</sup>。本研究发现, lncRNA SBF2-AS1 海绵吸附作用下下调 miR-140-5p 的表达水平, 从而促进 HeLa 细胞的 EMT 及侵袭迁移。此外, miR-140-5p 作为抑癌因子在宫颈癌的发展进程中起到重要的调控作用, 如 miR-140-5p 通过靶向下调 IGF2BP1 的表达水平抑制宫颈癌细胞的增殖和转移<sup>[17]</sup>; 过表达 lncRNA XIST 下调 miR-140-5p 的表达水平, 从而上调 TGFBR1 的表达水平, 进而抑制宫颈癌细胞增殖、侵袭、迁移及 EMT 并诱导细胞凋亡<sup>[18]</sup>。本研究发现, 过表达 miR-140-5p 也抑制了宫颈癌 HeLa 细胞的侵袭、迁移及 EMT。

VEGFA 是 VEGF 家族的主要成员之一, 在恶性肿瘤的 EMT 进程中起到重要的调控作用。研究<sup>[19]</sup>发

现, 敲降 miR-466f-3p 通过上调 VEGFA 及其受体 Nrp2 的表达水平, 进而促进成神经管细胞瘤细胞的 EMT; ZHONG 等<sup>[20]</sup>研究发现, circRNA-MYLK 通过海绵吸附 miR-29a 减轻对 VEGFA 的抑制作用, VEGFA 与 VEGFR2 结合激活下游 Ras/ERK 信号通路, 从而促进膀胱癌 EMT; CHEN 等<sup>[21]</sup>研究发现, VEGFA 通过与 VEGFR2 受体结合, 激活下游 PI3K/AKT 信号通路, 并上调 FLJ10540 的表达水平及 P110- $\alpha$ /P85- $\alpha$  (PI3K) 复合物形成, 进而促进肺癌侵袭迁移及 EMT。本研究发现, lncRNA SNHG16 通过竞争性结合 miR-140-5p 上调 VEGFA 的表达水平, 进而促进宫颈癌 HeLa 细胞的侵袭、迁移及 EMT。

综上所述, 本研究发现 lncRNA SNHG16 和 miR-140-5p 结合位点与 miR-140-5p 和 VEGFA 结合位点一致, 并且转染 miR-140-5p mimic+pcDNA-VEGFA、si-lncRNA SBF2-AS1+pcDNA-VEGFA 及 si-lncRNA SBF2-AS1+miR-140-5p mimic 能逆转过表达 miR-140-5p 对 HeLa 细胞侵袭、迁移及 EMT 的促进作用, 因此 lncRNA SBF2-AS1 海绵吸附 miR-140-5p 从而上

调 VEGFA 的表达水平, 进而促进 HeLa 细胞侵袭、迁移及 EMT。

### [参考文献]

- [1] EBINA Y, MIKAMI M, NAGASE S, et al. Japan society of gynecologic oncology guidelines 2017 for the treatment of uterine cervical cancer[J]. *Int J Clin Oncol*, 2019, 24(1): 1-19. DOI:10.1007/s10147-018-1351-y.
- [2] QURESHI R, ARORA H, RIZVI M A. EMT in cervical cancer: its role in tumour progression and response to therapy[J]. *Cancer Lett*, 2015, 356(2 Pt B): 321-331. DOI:10.1016/j.canlet.2014.09.021.
- [3] SHEN C J, CHENG Y M, WANG C L. LncRNA PVT1 epigenetically silences miR-195 and modulates EMT and chemoresistance in cervical cancer cells[J]. *J Drug Target*, 2017, 25(7): 637-644. DOI: 10.1080/1061186X.2017.1307379.
- [4] GAN L, CHEN Y, LIU H, et al. Long non-coding RNA ZEB1-antisense 1 affects cell migration and invasion of cervical cancer by regulating epithelial-mesenchymal transition via the p38MAPK signaling pathway[J]. *Gynecol Obstet Invest*, 2019, 84(2): 136-144. DOI: 10.1159/000493265.
- [5] ZHANG Y T, LI B P, ZHANG B, et al. LncRNA SBF2-AS1 promotes hepatocellular carcinoma metastasis by regulating EMT and predicts unfavorable prognosis[J]. *Eur Rev Med Pharmacol Sci*, 2018, 22(19): 6333-6341. DOI:10.26355/eurrev\_201810\_16044.
- [6] LI H Z, WANG X J, WEN C L, et al. Long noncoding RNA NORAD, a novel competing endogenous RNA, enhances the hypoxia-induced epithelial-mesenchymal transition to promote metastasis in pancreatic cancer[J/OL]. *Mol Cancer*, 2017, 16(1): 169 [2019-08-03]. <https://www.ncbi.nlm.nih.gov/pmc/articles/PMC5679488/>. DOI:10.1186/s12943-017-0738-0.
- [7] LV J, FAN H X, ZHAO X P, et al. Long non-coding RNA Unigenes56159 promotes epithelial-mesenchymal transition by acting as a ceRNA of miR-140-5p in hepatocellular carcinoma cells[J]. *Cancer Lett*, 2016, 382(2): 166-175. DOI: 10.1016/j.canlet.2016.08.029.
- [8] CHEN X X, ZENG K X, XU M, et al. SP1-induced lncRNA-ZFAS1 contributes to colorectal cancer progression via the miR-150-5p/VEGFA axis[J/OL]. *Cell Death Dis*, 2018, 9(10): 982[2019-08-03]. <https://www.ncbi.nlm.nih.gov/pmc/articles/PMC6155123/>. DOI: 10.1038/s41419-018-0962-6.
- [9] CHEN X X, ZENG K X, XU M, et al. P53-induced miR-1249 inhibits tumor growth, metastasis, and angiogenesis by targeting VEGFA and HMGA2[J/OL]. *Cell Death Dis*, 2019, 10(2): 131[2019-08-03]. <https://www.ncbi.nlm.nih.gov/pmc/articles/PMC6372610/>. DOI: 10.1038/s41419-018-1188-3.
- [10] LENG K M, XU Y, KANG P C, et al. Akirin2 is modulated by miR-490-3p and facilitates angiogenesis in cholangiocarcinoma through the IL-6/STAT3/VEGFA signaling pathway[J/OL]. *Cell Death Dis*, 2019, 10(4): 262[2019-08-03]. <https://www.ncbi.nlm.nih.gov/pmc/articles/PMC6423123/>. DOI:10.1038/s41419-019-1506-4.
- [11] GONG P J, WANG Y D, GAO Y N, et al. Msi1 promotes tumor progression by epithelial-to-mesenchymal transition in cervical cancer[J]. *Hum Pathol*, 2017, 65: 53-61. DOI:10.1016/j.humpath. 2016.12.026.
- [12] WU Y, YUAN T, WANG W W, et al. Long noncoding RNA HOST2 promotes epithelial-mesenchymal transition, proliferation, invasion and migration of hepatocellular carcinoma cells by activating the JAK2-STAT3 signaling pathway[J]. *Cell Physiol Biochem*, 2018, 51(1): 301-314. DOI:10.1159/000495231.
- [13] DENG Y Q, ZHAO F, ZHANG Z H, et al. Long noncoding RNA SNHG7 promotes the tumor growth and epithelial-to-mesenchymal transition via regulation of miR-34a signals in osteosarcoma[J]. *Cancer Biother Radiopharm*, 2018, 33(9): 365-372. DOI: 10.1089/cbr.2018.2503.
- [14] LI Y, LIU G, LI X J, et al. Long non-coding RNA SBF2-AS1 promotes hepatocellular carcinoma progression through regulation of miR-140-5p-TGFBR1 pathway[J]. *Biochem Biophys Res Commun*, 2018, 503(4): 2826-2832. DOI:10.1016/j.bbrc.2018.08.047.
- [15] TANG Y H, HE G L, HUANG S Z, et al. The long noncoding RNA AK002107 negatively modulates miR-140-5p and targets TGFBR1 to induce epithelial-mesenchymal transition in hepatocellular carcinoma[J/OL]. *Mol Oncol*, 2019, 13(5): 1296-1310[2019-08-03]. <https://www.ncbi.nlm.nih.gov/pmc/articles/PMC6487707/>. DOI: 10.1002/1878-0261.12487.
- [16] ZHANG K, CHEN J, SONG H Z, et al. SNHG16/miR-140-5p axis promotes esophagus cancer cell proliferation, migration and EMT formation through regulating ZEB1[J/OL]. *Oncotarget*, 2018, 9(1): 1028-1040[2019-08-03]. <https://www.ncbi.nlm.nih.gov/pmc/articles/PMC5787416/>. DOI:10.18632/oncotarget.23178.
- [17] SU Y L, XIONG J, HU J Y, et al. MicroRNA-140-5p targets insulin like growth factor 2 mRNA binding protein 1 (IGF2BP1) to suppress cervical cancer growth and metastasis[J/OL]. *Oncotarget*, 2016, 7(42): 68397-68411[2019-08-03]. <https://www.ncbi.nlm.nih.gov/pmc/articles/PMC5356564/>. DOI:10.18632/oncotarget.11722.
- [18] CHEN X, XIONG D S, YE L Y, et al. Up-regulated lncRNA XIST contributes to progression of cervical cancer via regulating miR-140-5p and ORC1[J/OL]. *Cancer Cell Int*, 2019, 19: 45[2019-11-03]. <https://www.ncbi.nlm.nih.gov/pmc/articles/PMC6394057/>. DOI:10.1186/s12935-019-0744-y.
- [19] BESHARAT Z M, SABATO C, PO A, et al. Low expression of miR-466f-3p sustains epithelial to mesenchymal transition in sonic hedgehog medulloblastoma stem cells through VEGFA-Nrp2 signaling pathway[J/OL]. *Front Pharmacol*, 2018, 9: 1281[2019-08-03]. <https://www.ncbi.nlm.nih.gov/pmc/articles/PMC6240675/>. DOI: 10.3389/fphar.2018.01281.
- [20] ZHONG Z Y, HUANG M G, LV M, et al. Circular RNA MYLK as a competing endogenous RNA promotes bladder cancer progression through modulating VEGFA/VEGFR2 signaling pathway[J]. *Cancer Lett*, 2017, 403: 305-317. DOI:10.1016/j.canlet.2017.06.027.
- [21] CHEN C H, LAI J M, CHOU T Y, et al. VEGFA upregulates FLJ10540 and modulates migration and invasion of lung cancer via PI3K/AKT pathway[J/OL]. *PLoS One*, 2009, 4(4): e5052[2019-08-03]. <https://www.ncbi.nlm.nih.gov/pmc/articles/PMC2659802/>. DOI:10.1371/journal.pone.0005052.

[收稿日期] 2019-09-08

[修回日期] 2019-11-20

[本文编辑] 王映红